

УДК 622.831:542.834

## ТЕОРЕТИЧЕСКАЯ МОДЕЛЬ АКУСТИЧЕСКОЙ ЭМИССИИ ПРИ МЕХАНИЧЕСКОМ НАГРУЖЕНИИ ГОРНЫХ ПОРОД В ОБЛАСТИ МАКСИМАЛЬНОГО УПЛОТНЕНИЯ

А. С. Вознесенский, К. Б. Устинов\*, В. Л. Шкуратник

Московский государственный горный университет, 119991 Москва

\* Институт проблем механики РАН, 119526 Москва

E-mails: ftkp@mail.ru, ustinov@ipmnet.ru

Обосновывается теоретическая модель изменения активности акустической эмиссии в геоматериале при его механическом непрерывном и ступенчатом нагружении. На основе указанной модели анализируются экспериментально установленные закономерности эмиссии в области максимального уплотнения образцов горных пород при различной скорости их механического нагружения.

**Ключевые слова:** активность акустической эмиссии, теоретическая модель, разрушение горных пород, ступенчатое нагружение, линейно возрастающее нагружение.

**Введение.** Механическое нагружение горных пород сопровождается двумя взаимосвязанными и происходящими одновременно процессами: образованием новых дефектов сплошности и уплотнением, вызванным закрытием трещин. На разных стадиях деформирования преобладает один из указанных процессов. Для практики геоконтроля, в частности, для оценки длительной прочности и прогноза разрушения большое значение имеет установление стадии, на которой наблюдается переход от преобладающего уплотнения геоматериала к его разуплотнению. Область такого перехода принято называть областью максимального уплотнения. Ее идентификация возможна по двум акустоэмиссионным эффектам, наиболее четко проявляющимся в пластичных горных породах и угле [1, 2]. Первый из этих эффектов состоит в том, что при непрерывном увеличении нагрузки на образец минимальная активность акустической эмиссии (ААЭ) наблюдается в момент максимального уплотнения геоматериала. Второй эффект проявляется при ступенчатом нагружении образца и заключается в следующем. На каждой ступени нагружения величина ААЭ после кратковременного возрастания затухает по экспоненте в соответствии с зависимостью

$$E_i(t) = a_0 + a_1 \exp(-t/a_2), \quad (1)$$

где  $a_0$ ,  $a_1$ ,  $a_2$  — параметры, характеризующие соответственно установившееся значение ААЭ, скачок ААЭ после нагружения на очередной  $i$ -й ступени, время затухания ААЭ до установившегося значения. При этом состоянию максимального уплотнения соответствует минимальное значение параметра  $a_2$ .

Для правильной интерпретации результатов акустоэмиссионных наблюдений, получаемых в том числе и в натуральных условиях, необходима разработка теоретической модели, объясняющей названные выше эффекты. В данной работе рассмотрен один из возможных

---

Работа выполнена при финансовой поддержке Российского фонда фундаментальных исследований (код проекта 04-05-64885-а) и фонда “Ведущие научные школы России” (грант № НШ-1467.2003.5).

вариантов такой модели, в основу которой положена концепция о статистической природе индивидуального акта разрушения, сопровождаемого акустической эмиссией. При этом предполагается, что материал (горная порода) обладает спектром параметров, определяющих процесс разрушения.

**1. Статистическая модель.** Для объяснения акустоэмиссионных эффектов, возникающих при деформировании геоматериалов, широко используются модели, основанные на термоактивационных механизмах разрушения [3–5]. Согласно концепции, изложенной в [4, 5], процесс разрушения определяется последовательным разрывом индивидуальных связей соответствующих структурных элементов. Если  $P = P(\sigma)$  — вероятность акта разрушения индивидуальной связи под действием напряжения  $\sigma$ , а  $\omega$  — собственная частота колебаний структурных элементов, соединяемых этой связью, то непрерывно будут возникать  $\omega$  ситуаций, когда связь разрушается. Вероятность разрушения в течение времени  $dt$  составляет  $P\omega dt$ , вероятность того, что в течение времени  $t$  разрыва не произойдет, равна  $(1 - P)^{\omega t}$ . Если  $N_0$  — исходное число нагруженных связей, то число связей, сохранившихся по истечении времени  $t$ , составляет  $N_0(1 - P)^{\omega t}$ , а число связей, разрушенных в интервале времени от  $t$  до  $t + dt$ , равно [4]

$$dN = N_0(1 - P)^{\omega t} P\omega dt. \quad (2)$$

Отношение числа разрушенных к моменту  $t$  связей к их исходному числу (относительная накопленная поврежденность) составляет  $1 - (1 - P)^{\omega t}$ . Зависимость (2) справедлива для процессов разрушения на различных масштабных уровнях с характерным временем  $1/\omega$ .

Предположим, что активность акустической эмиссии  $E$ , представляющая собой количество актов дискретной акустической эмиссии в единицу времени, пропорциональна скорости разрушения связей. Тогда согласно (2) получаем выражение

$$E = \frac{dN}{dt} = N_0(1 - P)^{\omega t} P\omega,$$

которое справедливо при постоянном напряжении.

*Ступенчатое возрастание напряжений.* Рассмотрим процесс ступенчатого изменения нагрузки со временем. Пусть в интервале времени от  $t_0$  до  $t_1$  действует напряжение  $\sigma(t_0)$ , а начиная с момента времени  $t_1$  до текущего момента времени  $t$  на образец действует напряжение  $\sigma(t_1)$ . Тогда вероятность единичного акта разрушения в текущий момент времени составляет

$$dN = N_0[1 - P(\sigma(t_0))]^{\omega(t_1-t_0)}[1 - P(\sigma(t_1))]^{\omega(t-t_1)} P(\sigma(t_1))\omega dt,$$

при этом

$$E(t) = N_0[1 - P(\sigma(t_0))]^{\omega(t_1-t_0)}[1 - P(\sigma(t_1))]^{\omega(t-t_1)} P(\sigma(t_1))\omega, \quad t > t_1. \quad (3)$$

Если с момента начала эксперимента образец испытал  $M$  скачков напряжения, продолжительность каждого из которых равна  $\Delta t$ , то согласно правилу вычисления условной вероятности вероятность единичного акта разрушения в текущий момент времени составляет

$$dN = N_0 \prod_{m=1}^M [1 - P(\sigma(t_m))]^{\omega\Delta t} P(\sigma(t_M))\omega dt, \quad (4)$$

при этом

$$E(t) = N_0 \prod_{m=1}^M [1 - P(\sigma(t_m))]^{\omega\Delta t} P(\sigma(t_M))\omega, \quad t > t_M. \quad (5)$$

*Непрерывное нагружение.* Найдем предел выражения (5) при  $\Delta t \rightarrow 0$ , что соответствует непрерывному процессу нагружения. Для этого левую и правую части соотношения (5) разделим на  $N_0 P(\sigma(t_M))\omega$  и прологарифмируем его. В результате получим

$$\ln \frac{E(t)}{N_0 \omega P(\sigma(t_M))} = \omega \Delta t \sum_{m=1}^M \ln [1 - P(\sigma(t_m))] N_0, \quad t > t_M.$$

При переходе к пределу  $\Delta t \rightarrow 0$  суммирование заменим интегрированием:

$$\ln \frac{E(t)}{N_0 \omega P(\sigma(t))} = \omega \int_0^t \ln [1 - P(\sigma(\tau))] d\tau.$$

Тогда зависимость ААЭ от времени определяется по формуле

$$E(t) = N_0 \omega P(\sigma(t)) \exp \left[ \omega \int_0^t \ln [1 - P(\sigma(\tau))] d\tau \right]. \quad (6)$$

Обычно при выводе подобных формул используется свойство малости выражения  $1 - [1 - P(\sigma(t_m))]^{\omega \Delta t}$ . Учитывая данное свойство, правую часть формулы (4) можно разложить по соответствующему малому параметру и, оставляя лишь главные члены, записать в виде

$$E(t) = N_0 \left[ 1 - \sum_{m=0}^M P(\sigma(t_m)) \omega \Delta t \right] P(\sigma(t_M)) \omega, \quad t > t_M.$$

Используя переход к пределу  $\Delta t \rightarrow 0$ , для непрерывной нагрузки получаем

$$E(t) = N_0 \omega P(\sigma(t)) \left[ 1 - \omega \int_0^t P(\sigma(\tau)) d\tau \right]. \quad (7)$$

Результаты сравнения приближенного выражения (7) с более точным (6) показывают, что (7) справедливо при малых величинах относительной накопленной поврежденности, определяемой интегралами в правых частях выражений (6) и (7).

Для вывода закона изменения ААЭ применительно к конкретному материалу необходимо задать характерную для этого материала зависимость вероятности акта разрушения от напряжения  $P(\sigma)$ . Данная модель описывает поведение материалов, в которых все элементы обладают одинаковыми прочностными характеристиками. Для реальных материалов (таких как горные породы), являющихся неоднородными, естественно предположить существование распределения слагающих элементов по их прочности. Разбив все элементы на  $K$  прочностных групп и предположив, что поведение каждой группы не зависит от поведения других групп, соотношение (6) можно записать в следующем виде:

$$E(t) = \sum_{k=1}^K N_k \omega_k P_k(\sigma(t)) \exp \left[ \omega_k \int_0^t \ln [1 - P_k(\sigma(\tau))] d\tau \right]. \quad (8)$$

Осуществив предельный переход, соответствующий плавному распределению свойств, из (8) получим

$$E(t) = \int_0^{N_0} \omega(N) p(N, \sigma(t)) \exp \left[ \omega(N) \int_0^t \ln [1 - p(N, \sigma(\tau))] d\tau \right] dN. \quad (9)$$

В качестве параметра, характеризующего прочность рассматриваемой группы элементов, примем характерное для этой группы разрушающее напряжение  $\sigma_0$ . Тогда

$$E(t) = \int_0^{\sigma_{\max}} Q(\sigma_0) \omega(\sigma_0) P(\sigma_0, \sigma(t)) \exp \left[ \omega(\sigma_0) \int_0^t \ln [1 - P(\sigma_0, \sigma(\tau))] d\tau \right] d\sigma_0. \quad (10)$$

Здесь функция  $Q(\sigma) = dN/d\sigma$  характеризует плотность распределения элементов по их прочности. Верхний предел интегрирования в (10) можно положить равным бесконечности (при этом функция  $Q(\sigma)$  должна быть равной нулю начиная с некоторого значения).

Пусть закон  $P(\sigma)$  такой, что разрушения элемента не происходит, если приложенные напряжения не превышают некоторого значения. При этом верхний предел интегрирования в (10) можно положить равным действующему напряжению  $\sigma$ . Кроме того, для удобства вместо частоты  $\omega$  введем характерное время разрушения  $t_0 = 1/\omega$ . Тогда

$$E(t) = \int_0^{\sigma} \frac{Q(\sigma_0)}{t_0(\sigma_0)} P(\sigma_0, \sigma(t)) \exp \left[ \frac{1}{t_0(\sigma_0)} \int_0^t \ln [1 - P(\sigma_0, \sigma(\tau))] d\tau \right] d\sigma_0. \quad (11)$$

Итак, в общем случае  $E(t)$  является функционалом, зависящим от трех параметров: распределения прочности  $Q(\sigma_0)$ , спектра характерных времен разрушения  $t_0(\sigma_0)$ , спектра зависимостей вероятности акта разрушения от действующего напряжения  $P(\sigma_0, \sigma(t))$ .

**2. Конкретизация зависимости вероятности разрушения от действующего напряжения.** Рассмотрим случай, когда разрушения элемента не происходит, если приложенные напряжения не превышают некоторого значения  $\sigma_0$ , т. е.  $P(\sigma_0) = 0$  (причем с ростом напряжения  $\sigma$  вероятность разрушения растет, приближаясь к единице). Существует бесконечное множество функций данного вида (например, интеграл от лог-нормального распределения, комбинация степеней и др.). Выбор функции определяется удобством и простотой получаемых выражений. С учетом этого выберем зависимость в виде

$$P(\sigma_0, \sigma(t)) = \begin{cases} 1 - \exp [-a(\sigma_0)(\sigma(t) - \sigma_0)], & \sigma(t) > \sigma_0, \\ 0, & \sigma(t) < \sigma_0. \end{cases} \quad (12)$$

Функция  $a(\sigma)$  характеризует скорость нарастания вероятности разрушения с увеличением напряжений  $\sigma$ .

Подставив (12) в (11), получим выражение для произвольной зависимости нагрузки от времени. (Наличие в полученном выражении двойного интеграла осложняет его непосредственное использование.)

Для введенной зависимости рассмотрим два случая нагружения: ступенчатое и нагружение с постоянной скоростью.

*Ступенчатое нагружение.* Рассмотрим случай, когда образец выдерживается под нагрузкой  $\sigma_0$  значительное время  $t_1$ , а затем задается мгновенное приращение нагрузки  $d\sigma$ . Для того чтобы определить зависимость  $E(t - t_1)$ , используем промежуточное выражение (3). Подобно (9)–(11) проинтегрируем его по всему спектру прочностей элементов:

$$E(t) = \int_0^{\sigma} \frac{Q(\sigma')}{t_0(\sigma')} [1 - P(\sigma_0)]^{t_1/t_0(\sigma_0)} [1 - P(\sigma')]^{(t-t_1)/t_0(\sigma')} P(\sigma') d\sigma', \quad t > t_1 \quad (13)$$

( $\sigma'$  — переменная интегрирования).

Если образец выдерживается под напряжением  $\sigma_0$  достаточно долго ( $t_1 \gg t_0(\sigma_0)$ ), то можно предположить, что практически все элементы с начальной прочностью, меньшей  $\sigma_0$ , разрушатся. Тогда выражение (13) упростится следующим образом:

$$E(t) = \int_{\sigma_0}^{\sigma} \frac{Q(\sigma')}{t_0(\sigma')} [1 - P(\sigma')]^{(t-t_1)/t_0(\sigma')} P(\sigma') d\sigma', \quad t > t_1. \quad (14)$$

Подставив (12) в (14), получим соотношение

$$E(t) = \int_{\sigma_0}^{\sigma} \frac{Q(\sigma')}{t_0(\sigma')} \exp\left(-a(\sigma_0)(\sigma' - \sigma_0) \frac{t - t_1}{t_0(\sigma')}\right) \{1 - \exp[-a(\sigma_0)(\sigma' - \sigma_0)]\} d\sigma', \quad t > t_1.$$

В случае достаточно плавного изменения функций  $Q(\sigma)$ ,  $t_0(\sigma)$  и  $a(\sigma)$  их можно считать постоянными на интервале интегрирования. Кроме того, для удобства сдвинем отсчет времени, так что приращение напряжения осуществляется в начальный момент  $t = 0$ :

$$E(t) = \frac{Q(\sigma)}{t_0(\sigma)} \int_{\sigma_0}^{\sigma} \exp\left(-a(\sigma_0)(\sigma' - \sigma_0) \frac{t}{t_0(\sigma')}\right) \{1 - \exp[-a(\sigma_0)(\sigma' - \sigma_0)]\} d\sigma', \quad t > t_1. \quad (15)$$

Интегрирование в (15) может быть выполнено в аналитическом виде, а окончательный результат записан следующим образом:

$$E(t) = \frac{Q}{a} \left( \frac{\exp[-a(\sigma - \sigma_0)(1 + t/t_0)]}{t + t_0} - \frac{\exp[-a(\sigma - \sigma_0)t/t_0]}{t} + \frac{t_0}{t(t + t_0)} \right), \quad t > t_1. \quad (16)$$

Из выражений (15), (16) следует, что затухание сигнала не является строго экспоненциальным и характеризуется целым спектром времен затухания. Этим, в частности, можно объяснить наблюдаемое в экспериментах замедление затухания сигнала со временем. Однако если приращение напряжения  $\Delta\sigma = \sigma - \sigma_0$  достаточно мало, то в первом приближении интеграл (15) можно вычислить по формуле трапеции

$$E(t) \approx \Delta\sigma(E(\sigma) + E(\sigma_0))/2 = a_1(\sigma, \Delta\sigma) \exp[-t/a_2(\sigma, \Delta\sigma)], \quad t > t_1,$$

где

$$a_1(\sigma, \Delta\sigma) = \Delta\sigma \frac{Q(\sigma)}{t_0(\sigma)} \frac{1 - \exp[-a(\sigma)\Delta\sigma]}{2} = \Delta\sigma \frac{Q(\sigma)P(\sigma)}{2t_0(\sigma)}, \quad a_2(\sigma, \Delta\sigma) = \frac{t_0(\sigma)}{a(\sigma)\Delta\sigma}. \quad (17)$$

В ходе экспериментов величина  $\Delta\sigma$  обычно постоянна, а параметры (17) модели измеряются.

*Нагружение с постоянной скоростью.* Рассмотрим случай, когда образец нагружается с постоянной скоростью

$$\sigma(t) = bt$$

( $b$  — постоянный коэффициент). Подставляя данное выражение в (12), а (12) в (11), получаем выражение, в котором внутренний интеграл может быть вычислен аналитически. В результате имеем

$$E(t) = \int_0^{\sigma} \frac{Q(\sigma_0)}{t_0(\sigma_0)} [1 - \exp(-a(\sigma_0)(\sigma - \sigma_0))] \exp\left(-\frac{a(\sigma_0)}{2bt_0(\sigma_0)}(\sigma - \sigma_0)^2\right) d\sigma_0.$$

В ряде случаев, например когда увеличение нагрузки осуществляется с постоянной скоростью, целесообразно записать зависимость ААЭ от напряжения, а не от времени:

$$E(\sigma) \equiv \frac{dN}{d\sigma} = \frac{dN}{dt} \frac{dt}{d\sigma} = \frac{E(t)}{b} = \frac{1}{b} \int_0^{\sigma} \frac{Q(\sigma_0)}{t_0(\sigma_0)} [1 - \exp(-a(\sigma_0)(\sigma - \sigma_0))] \exp\left(-\frac{a(\sigma_0)}{2bt_0(\sigma_0)}(\sigma - \sigma_0)^2\right) d\sigma_0. \quad (18)$$

Используя приведенные выше обозначения и результаты, формулу (18) можно записать в виде

$$E(\sigma) = \frac{2}{b} \int_0^{\sigma} a_1(\sigma_0) \exp\left(-\frac{(\sigma - \sigma_0)^2}{2ba_2(\sigma_0)}\right) d\sigma_0.$$

**3. Пример расчета.** Проведем расчет ААЭ при непрерывно увеличивающейся нагрузке, используя функцию  $a_2(\sigma)$ , полученную на основе данных лабораторных испытаний образцов угля при ступенчатом нагружении с боковым давлением 10 МПа.

Пусть два образца нагружаются с постоянной скоростью  $\sigma(t) = bt$  ( $b = 1$ ). Для первого из них (модельный образец) параметры зависимости (1) постоянны:  $a_1 = 50$ ,  $a_2 = 10$ , для второго (реальный угольный образец) эти параметры зависят от напряжения следующим образом:

$$a_1 = 147 - 9,246\sigma + 0,166\sigma^2 + 0,000498\sigma^3; \quad (19)$$

$$a_2 = 7,626 + 0,496\sigma - 0,0378\sigma^2 + 0,000573\sigma^3. \quad (20)$$

Зависимости (19), (20), полученные путем аппроксимации соответствующих экспериментальных данных полиномами третьей степени, представлены на рис. 1, *а, б* соответственно.

На рис. 2 приведена зависимость ААЭ от напряжения для реального угольного образца и модельного образца с постоянными свойствами. Из рис. 2 следует, что в рамках предложенной модели с учетом изменения ААЭ при ступенчатом нагружении можно рассчитать согласующийся с экспериментальными данными закон изменения ААЭ при непрерывном увеличении нагрузки.

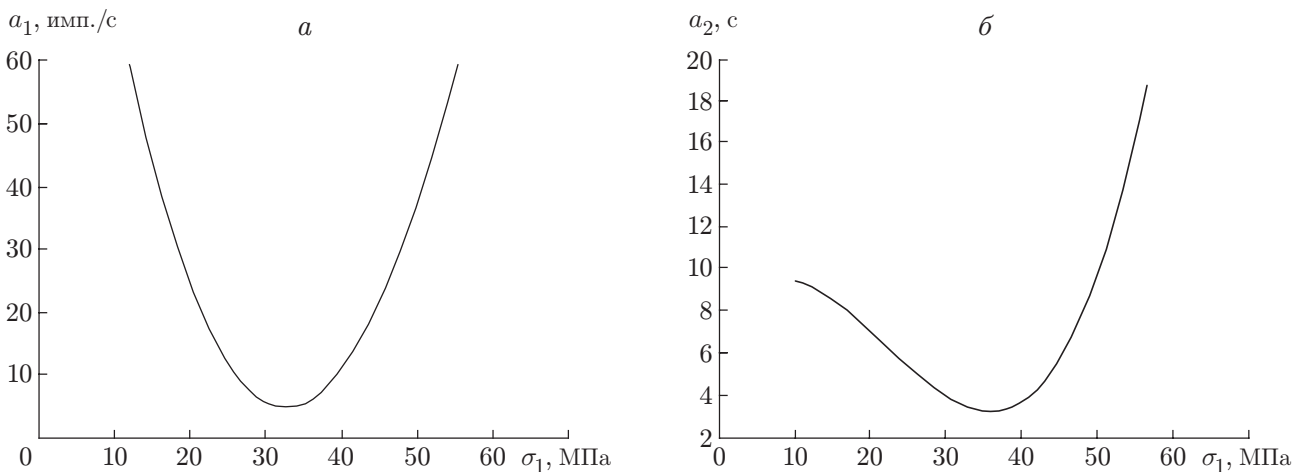


Рис. 1. Зависимости амплитуды ААЭ (*а*) и времени затухания (*б*) от осевой нагрузки

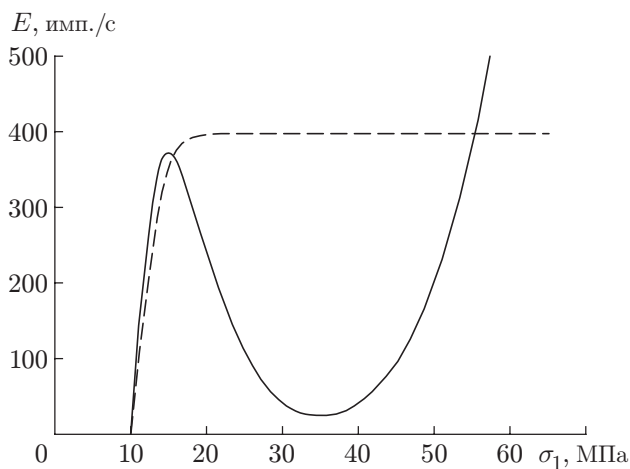


Рис. 2

Рис. 2. Зависимость ААЭ от осевого напряжения при линейном возрастании нагрузки:

сплошная линия — реальный угольный образец; штриховая линия — модельный образец с постоянными свойствами

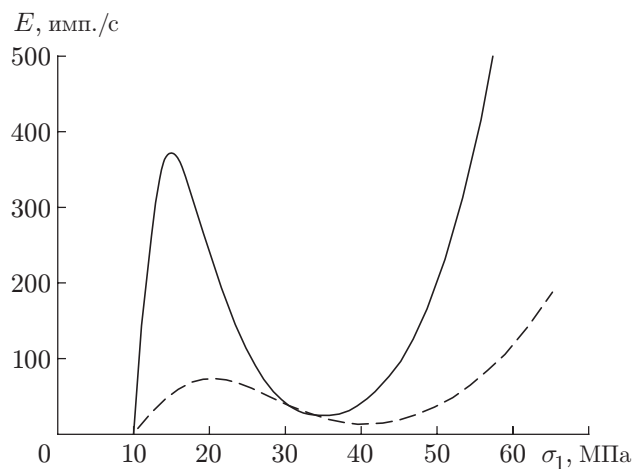


Рис. 3

Рис. 3. Зависимость ААЭ от осевого напряжения при скоростях возрастания нагрузки  $b = 1$  (сплошная линия) и  $b = 10$  (штриховая линия)

Помимо двух описанных выше акустоэмиссионных эффектов, проявляющихся при непрерывном и ступенчатом увеличении нагрузки, полученная модель позволяет объяснить еще один эффект, наблюдаемый в экспериментах. Этот эффект проявляется в особенностях изменения ААЭ при различных скоростях возрастания нагрузки (рис. 3): с увеличением скорости возрастания нагрузки в области максимального уплотнения отношение максимального значения ААЭ к ее минимальному значению уменьшается. Степень проявления этого эффекта определяется соотношением между временем, в течение которого увеличивающаяся нагрузка проходит стадию максимального уплотнения, и временем затухания ААЭ после приложения нагрузки на предыдущей стадии нагружения. При небольшой скорости нагружения, когда время прохождения стадии максимального уплотнения достаточно велико по сравнению с временем последствия процессов предшествующей стадии, минимум ААЭ четко выражен. При увеличенной по сравнению с первым случаем скорости нагружения время прохождения стадии максимального уплотнения становится сравнимым с временем последствия предшествующей стадии или меньшим. В результате проявляется маскирующее действие ААЭ, предшествующей максимальному уплотнению на стадии нагружения. В предельном случае такая “маскировка” может привести к исчезновению минимума ААЭ в состоянии максимального уплотнения.

**Закключение.** Разработанная теоретическая модель, основанная на положениях статистической теории прочности, позволяет объяснить аномалии акустической эмиссии, наблюдаемые при непрерывном и ступенчатом механическом нагружении горных пород в области максимального уплотнения, а также влияние на указанные аномалии скорости изменения нагрузки.

## ЛИТЕРАТУРА

1. Вознесенский А. С., Тавостин М. Н., Демчишин Ю. В. Эффект изменения времени затухания акустической эмиссии в состоянии максимального уплотнения каменной соли // Физ.-техн. пробл. разраб. полез. ископаемых. 2002. № 1. С. 3–11.

2. **Вознесенский А. С., Тавостин М. Н., Гладкий А. Ю., Мизгин Г. Н.** Акустическая эмиссия при ступенчатом деформировании образцов угля // Физическая акустика. Распространение и дифракция волн. Геоакустика: Сб. тр. XV сессии Рос. акуст. о-ва. М.: ГЕОС, 2004. Т. 1. С. 287–290.
3. **Журков С. Н., Нарзуллаев Б. Н.** Временная зависимость прочности твердых тел // Журн. техн. физики. 1953. Т. 23. С. 1677–1689.
4. **Bueche F.** Tensile strength of plastics below the glass temperature // J. Appl. Phys. 1957. V. 28. P. 784–799.
5. **Bueche F.** Tensile strength of plastics: effects of flaws and chain relaxation // J. Appl. Phys. 1958. V. 29. P. 1231–1246.

*Поступила в редакцию 27/IX 2005 г.*

---